



## سنگ‌شناسی، زمین‌شیمی و سن‌سنجه متابازیت‌های نئوپروتروزوژئیک پایانی مجموعه دگرگونی ماجرا (جنوب‌شرق شاهروود): گامی به سوی شناخت زمین‌دینامیک سرزمین‌های گندوانایی ایران

مرضیه ویس‌کرمی<sup>۱\*</sup>، محمود صادقیان<sup>۱</sup>، مینگو جای<sup>۲</sup>، حبیب الله قاسمی<sup>۱</sup>

۱- گروه سنگ‌شناسی و زمین‌شناسی اقتصادی، دانشکده علوم زمین، دانشگاه صنعتی شاهروود

۲- مؤسسه زمین‌شناسی و ژئوفیزیک انجمن علوم چین (پکن) و دانشگاه نورث‌وست (شمال‌عرب) شیان

(دریافت مقاله: ۹۷/۱/۱۸، نسخه نهایی: ۹۷/۵/۱)

چکیده: مجموعه دگرگونی ماجرا در کرانه شمالی پهنه‌ساختاری ایران مرکزی و جنوب‌شرقی شاهروود، طیف ترکیبی متنوعی شامل متاکربنات، متابازیت (شیست‌سیز، آمفیبولیت و گارنت‌آمفیبولیت)، متاپلیت، متاپسامیت و متاریولیت را در بر می‌گیرد. سنگ‌والد متابازیت‌ها روانه‌های بازالتی زیردریایی بوده که در حوضه‌های کششی درون‌قاره‌ای نئوپروتروزوژئیک پایانی تشکیل شده‌اند. ماگماهای سازنده سنگ‌مادر متابازیت‌ها دارای ماهیت قلیایی هستند، که از عناصر سنگ دوست بزرگ یون (LILEs) و عناصر خاکی نادر سبک (LREEs) غنی‌شدگی و از عناصر با شدت میدان بالا (HFSEs) و عناصر خاکی نادر سنگین (HREEs) تهی‌شدگی نشان‌می‌دهند و از خاستگاه‌هایی چون بازالت‌های جزایر اقیانوسی (OIB) تا بازالت‌های پشت‌های میان اقیانوسی نوع مورب غنی شده (EMORB) سرچشم‌می‌گرفته‌اند. با توجه به نتایج سن‌سنجه U-Pb انجام شده بر زیرکن‌های استخراج شده از گرانیت‌وئیدهای فقط کننده مجموعه دگرگونی ماجرا (با سن  $38 \pm 553$  میلیون سال)، این مجموعه دارای سن نئوپروتروزوژئیک پایانی است. بر اساس بررسی‌های انجام‌شده می‌توان گفت که حوضه‌های مورد نظر اغلب به مرحله تشکیل سنگ کره اقیانوسی گستردگی نرسیده و بر اثر حاکم‌شدن نظام تراکمی، به سرعت بسته‌شده‌اند و مجموعه سنگ‌های درگیر در این فرایندها به صورت منشورهای بهم افزوده بر ورقه‌های قاره‌ای فرارانده‌شده و احتمالاً تا مرحله برخورد قاره - قاره پیش رفته‌اند.

واژه‌های کلیدی: متابازیت؛ نئوپروتروزوژئیک پایانی؛ حوضه‌های کششی؛ ایران مرکزی؛ ماجرا؛ شاهروود.

[۴] و سپس طی کوه‌زایی سیمیرین پیشین و در نتیجه فرورانش رو به شمال اقیانوس پالئوتیس و بسته‌شدن آن، در تریاس‌پایانی به اوراسیا پیوسته است [۵]. بخش عمده‌ای از بقایای سامانه زمین‌ساختی ماگمایی پروتروزوژئیک پایانی به صورت سرزمین‌های پی‌سنگی، به ویژه در ایران مرکزی، رخنمون دارند [۵، ۶]. با بازشدن نئوتیس در جنوب ایران در راستای زاگرس، تاریخچه پر پیچ و خم دگرگونی‌های زمین ساختی ایران ادامه یافته که پرداختن به آن، خارج از حوصله و مجال بحث این مقاله است. در سال‌های اخیر، پژوهش‌های

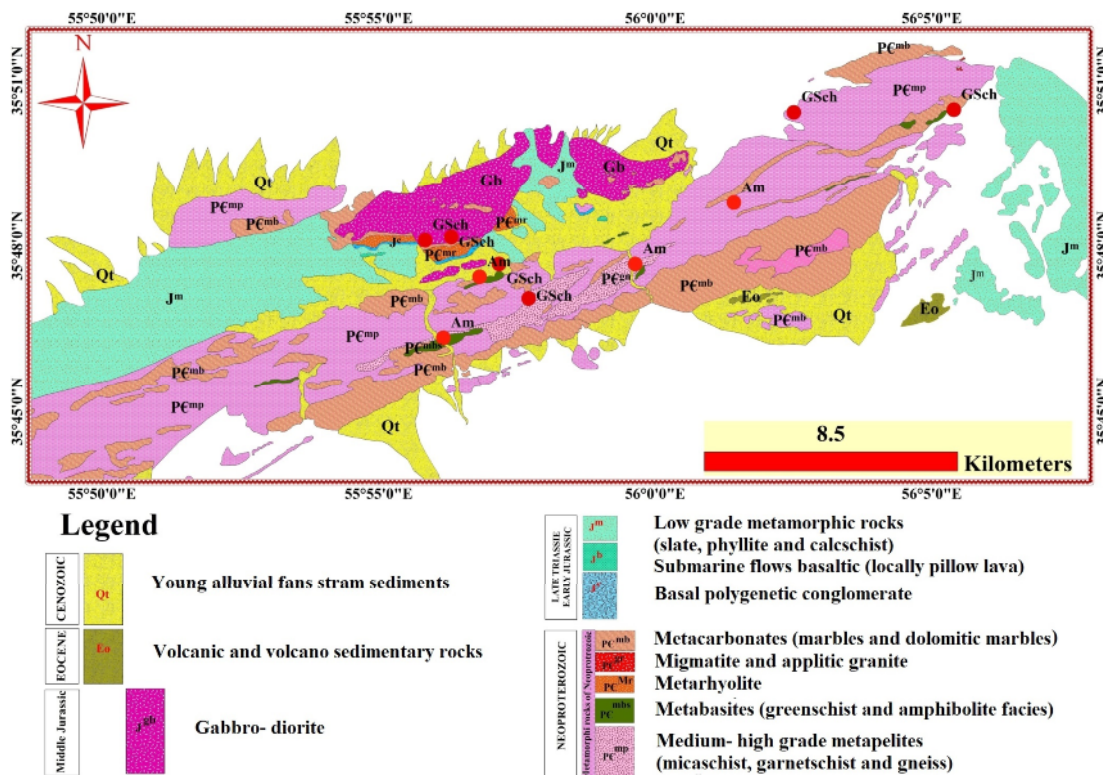
مقدمه نقشه‌های جغرافیای دیرین کره زمین در گستره سنی نئوپروتروزوژئیک-کامبرین‌پیشین [۱، ۲] نشان می‌دهند که سرزمین ایران در آن زمان، همراه با بخش‌هایی از سرزمین‌های آوالونیای غربی و شرقی، ماسیف سانتال فرانسه، ماسیف آرموریکن، ماسیف بوهمیا (یونان و چک)، آناطولی (ترکیه)، هند، تاریم و چین به صورت خردۀ قاره‌ای در کرانه شمالی ابرقاره گندوانا قرار داشته است. خردۀ قاره ایران در پالئوزوئیک و در اثر کافتزایی پالئوتیس از کرانه شمالی گندوانا جدا شده [۳].

است [۱۶-۱۹]. مجموعه دگرگونی ماجرا که بررسی بخشی از دگرگونی‌های سنگ‌شناسی آن موضوع این مقاله است، از سرزمین‌های پی‌سنگی شمال پهنه‌ساختاری ایران مرکزی در جنوب دامغان تا شرق شهرود است که در ۵۰ کیلومتری جنوب‌شرقی بیارجمند رخمنون دارد. این مقاله به‌ویژه، به بررسی متابازیت‌های این مجموعه بر پایه نتایج تجزیه شیمی سنگ‌کل و شیمی‌کانی‌ها، نسبت‌های ایزوتوپی و سن‌سنگی‌هایی که همه برای نخستین بار انجام شده‌اند می‌پردازد.

#### زمین‌شناسی منطقه و شواهد صحرایی

مجموعه دگرگونی ماجرا با روند شمال‌شرقی-جنوب‌غربی و طول تقریبی ۴۰ کیلومتر و عرض ۱۰ کیلومتر در جنوب شرقی شهرود (۶۵ کیلومتری جنوب‌شرق بیارجمند) و در کرانه شمالی پهنه ساختاری ایران مرکزی قرار دارد (شکل ۱). با توجه به بازدیدهای صحرایی، داده‌های زمین‌شناسی و نتایج سن‌سنگی می‌توان رخدادهای زمین‌شناسی این منطقه را در دو ردۀ سنی نوپروتزوژنیک‌پایانی و اواخر تریاس تا زوراسیک میانی جای داد.

گسترده‌ای پیرامون مجموعه‌های پی‌سنگی ایران انجام شده است [۷-۱۵]. ولی با توجه به تنوع و پیچیدگی‌های زمین‌شناسی سرزمین‌های گندوانایی مورد نظر، شناخت دگرگونی‌های زمین‌ساختی ماقمایی آنها نیازمند بررسی‌های گسترده و همه‌جانبه بیشتری است. سرزمین‌های گندوانایی به جز پهنه‌های کپه‌داغ، فلیش شرق ایران و مکران، در سایر نقاط ایران به دارند، ولی در مورد سن آنها اختلاف نظرهایی وجود دارد [۱۶]. در سال‌های اخیر، با گسترش روش‌های سن‌سنگی قبل اعتماد (سن‌سنگی U-Pb روی زیرکن) پژوهش‌های ارزشمندی پیرامون این مناطق انجام شده و یا در حال انجام است که گام مؤثری در روشن شدن ابهامات موجود در مورد این سرزمین‌ها است. سن‌سنگی‌های انجام شده بیانگر گستره سنی نوپروتزوژنیک‌پایانی - کامبرین پیشین برای این سرزمین‌ها است. بررسی‌های جدید نشان می‌دهند که سرزمین‌های پی‌سنگی ایران، اگرچه از نظر ویژگی‌ها و تنوع سن‌شناسی تشابه‌های بسیاری با سرزمین‌های پی‌سنگی سپر آفریقاًی - عربی دارند، ولی گستره سنی تشکیل آنها به طور کامل متفاوت

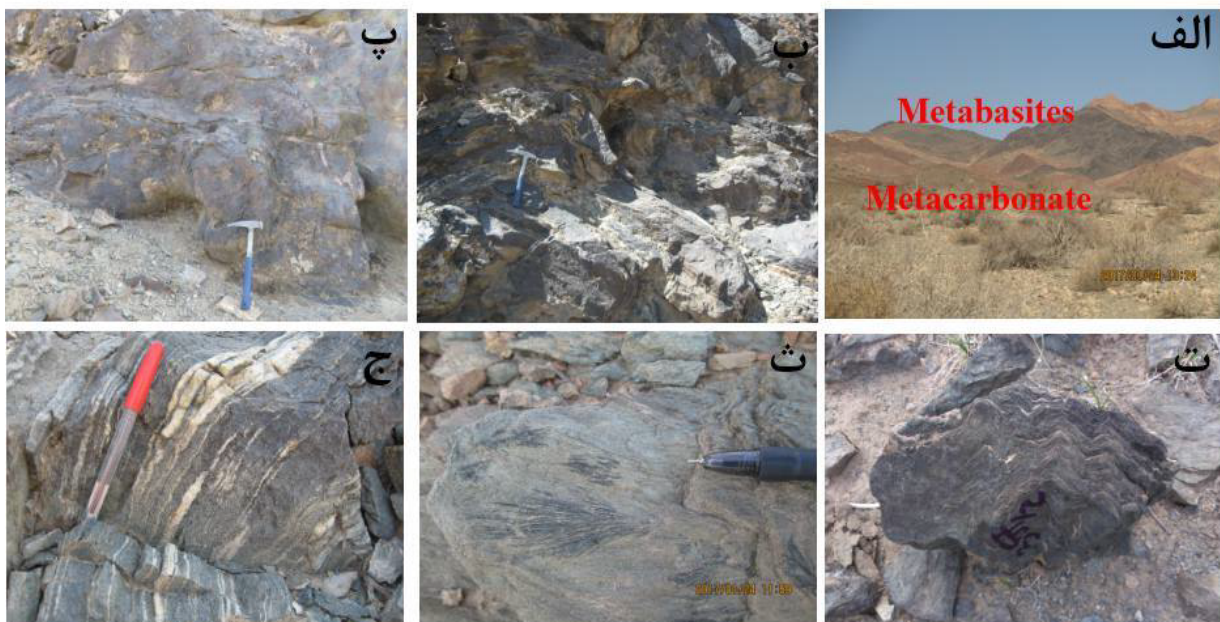


شکل ۱ نقشه زمین‌شناسی مجموعه دگرگونی ماجرا بر پایه برداشت‌های صحرایی، تصاویر ماهواره‌ای گوگل ارث و نتایج سن‌سنگی ایزوتوپی جدید که موقعیت جغرافیایی و ترکیب سنگ‌شناسی نمونه‌های متابازیتی مورد بررسی بر آن مشخص شده است (دایره‌های قرمز رنگ با علامت اختصاری GSch نشانگر شیست سبز و Am نشانگر آمفیبولیت هستند).

متابازالت (شیست‌سبز) و متاکربنات (مرمرهای با درجه بازتبلوری پایین) دگرگون شده‌اند. فراوردهای برآمده از فرسایش توالی ژوراسیک در کنگلومرای پالئوسن و کنگلومرای قاعده توالي آتشفسانی - رسوی ائوسن یافت می‌شوند. در جنوب آغل جمیل (در جنوب شترکوه)، کنگلومرای سرشار از قطعات بازالتی با سن چینه‌شناختی کرتاسه پیشین دیده می‌شود که قطعات آن از بازالت‌های توالي تریاس - ژوراسیک سرچشم‌های گرفته‌اند. این توالي را می‌توان معادل سازند شمشک در البرز در نظر گرفت که در حوضه‌های کششی پشت‌کمانی تشکیل شده است [۲۰]. این توالي در برخی نقاط توسط تعدادی توده نفوذی گابرو‌دیوریتی وابسته به ژوراسیک‌میانی قطع شده است.

مجموعه دگرگونی ماجراد شامل طیف گسترده‌ای از سنگ‌های دگرگونی با ترکیب متاکربناتی، متاپامیتی، متاپلیتی، متاکربناتی و متاریولیتی است. در این مجموعه، متاکربنات‌ها در مقایسه با سایر سنگ‌ها از گستردگی و حجم بسیاری برخوردارند. متاپلیت‌ها طیف متنوعی از اسلیت، میکاشیست، گارنت‌میکاشیست تا گنیس و گارنت گنیس را شامل می‌شوند که دما و فشار محیط تشکیل آنها در حد رخساره شیست‌سبز تا رخساره آمفیبولیت بوده است.

از آنجا که رخدادهای تریاس پایانی تا ژوراسیک‌میانی موضوع اصلی این مقاله نیست، نخست به بررسی مختصر آنها بسنده کرده و بحث اصلی را پیرامون رخدادهای نئوپروتروزوئیک‌پایانی به تفصیل ادامه می‌دهیم. در مورد رخدادهای رسویگذاری و دگرگونی‌های ماقمایی - دگرگونی‌اوخر تریاس تا ژوراسیک‌میانی می‌توان گفت که توالي ژوراسیک با کنگلومرای قاعده‌ای چندزادی سرشار از قلوه‌های سنگی آذرین و دگرگونی نئوپروتروزوئیک‌پایانی شروع می‌شود و با توالي نسبتاً ضخیمی از ماسه‌سنگ، شیل، آهک‌ماسه‌ای و آهک ادامه می‌یابد. قطعات سازنده این کنگلومرای قاعده‌ای را قلوه‌هایی از جنس گرانیت، گنیس، میکاشیست، شیست‌سبز، آمفیبولیت و مرمر تشکیل می‌دهند که در بیشتر مناطق پی-سنگی جنوب شاهروド رخمنون دارند. در بین این توالي، افق‌هایی از بازالت و هیالوکلاست‌ها و ولکانی‌کلاست‌های بازالتی نیز به صورت میان لایه یافت می‌شوند که گاه ضخامت آنها تا حدود ۱۰۰ متر نیز می‌رسد. در برخی از افق‌های بازالتی، ساخت‌الشی بارزی دیده می‌شود (شکل ۲). توالي رسوی - آتشفسانی تریاس‌پایانی - ژوراسیک‌پیشین، در رخداد سیمیرین-میانی در دوره ژوراسیک‌میانی به مجموعه دگرگونی درجه-پایینی شامل اسلیت، فیلیت، ماسه‌سنگ دگرگونه، متاگریوک.



شکل ۲ تصاویری از ویژگی‌های بازالت‌های متابازیت‌های مجموعه دگرگونی ماجراد: الف. دورنمایی از همراهی متابازیت‌ها و متاکربنات‌ها. ب و پ) ساختار بالشی حفظ شده در آمفیبولیت‌های جنوب آغل سیاه‌تول، ث) چین‌ها و ریزچین‌ها در آمفیبولیت‌های جنوب آغل سیاه‌تول، ج) ساختار نواری ناشی از تشکیل بخش‌های روشن و تیره در آمفیبولیت‌های غرب معدن مس ماجراد و ج) آکتینولیت‌های درشت دارای ساختار انگشتی در آکتینولیت شیست‌های غرب مزرعه ماجراد.

### سنگنگاری

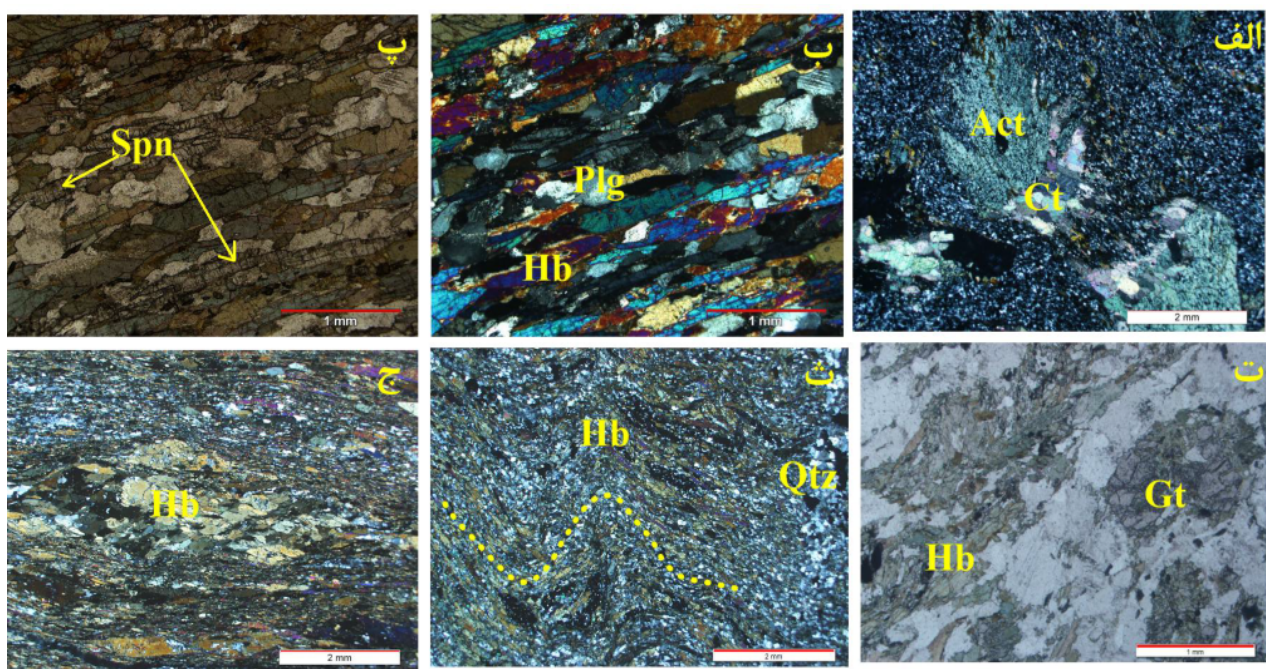
متاکربنات‌های مجموعه دگرگونی مجرد شامل مرمرهای آهکی و دولومیتی هستند. بازبلور کانی‌ها، درشتتر شدن اندازه دانه‌ها و تغییر رنگ کربنات‌ها از خاکستری به روشن (کرم تا قهوه‌ای روشن) از ویژگی‌های بارز این سنگ‌هاست. متاپلیت‌ها بیشتر شامل فیلیت، میکاشیست، گارنت‌شیست، گارنت-میکاشیست تا گنیس و گارنت گنیس هستند. بافت غالب این سنگ‌ها لپیدوبلاستی بوده که ناشی از فراوانی مسکوویت در این سنگ‌هاست. بافت لپیدوبلاستی و غربالی نیز در میکاشیست‌ها و گارنت میکاشیست‌ها دیده می‌شود. فراوانی مسکوویت و بیوتیت در این سنگ‌ها برگوارگی بارزی ایجاد کرده است. در برخی موارد نیز بلورهای بیوتیت به شکل ماهی (Mica fish) بافت‌های از نوع مایل را ایجاد کرده‌اند که ناشی از دگرریختی و میلونیتی شدن این سنگ‌ها در زون‌های برشی است.

متاپلیت‌های مجموعه دگرگونی مجرد را می‌توان به دو گروه شیست سبز (آکتینولیت شیست) و آمفیبولیت- گارنت آمفیبولیت تقسیم کرد. آکتینولیت و در برخی موارد پلازیوکلازهای سدیمی (آلبیت - الیگوکلاز،  $Ab_{73-91}An_{26-39}$ )، کانی‌های اصلی تشکیل دهنده آکتینولیت شیست‌ها هستند. کلریت، اپیدوت، کلسیت، اسفن و اکسیدهای آهن و منگنز از جمله کانی‌های ثانویه‌ای هستند که در آکتینولیت شیست‌ها یافت می‌شوند، بافت غالب این سنگ‌ها نماتوبلاستی است (شکل‌های ۳ الف و ب). هورنبلند سبز (هورنبلند، فروچرماتیت و آلومینوچرماتیت)، پلازیوکلاز (الیگوکلاز - آندزین،  $Ab_{61-77}An_{23-39}$ ) و گارنت، کانی‌های اصلی تشکیل دهنده آمفیبولیت‌ها و گارنت آمفیبولیت‌ها هستند. در این سنگ‌ها، هورنبلند سبز از فراوانی بیشتری برخوردار است (شکل ۳). بیوتیت در برخی از نمونه‌های سنگی دارای مقادیر قابل توجهی است و می‌توان آن را جزء کانی‌های اصلی سنگ به حساب آورد. این سنگ‌ها بافت‌های نماتوبلاستی و لپیدوبلاستی و گاه بافت متقاطع (دکوسیت) نشان می‌دهند. اسفن، تیتانومگنتیت و زیرکن از کانی‌های فرعی بارز این سنگ‌ها هستند. شواهد دگرریختی چون برگوارگی، خطوارگی، بلورهای ماهی‌شکل هورنبلند سبز و بیوتیت، به خوبی در این سنگ‌ها گسترش یافته‌اند (شکل ۳). در برخی از آمفیبولیت‌ها، تناوبی از کانی‌های تیره (هورنبلند، مگنتیت و اسفن) و روشن (پلازیوکلاز و کوارتز) دیده می‌شود.

متاپلیت‌ها که موضوع اصلی این مقاله هستند دسته دیگری از سنگ‌های دگرگونی مجموعه مجرد هستند که اغلب با متاکربنات‌ها، متاپلیت‌ها و در برخی مناطق با متاریولیت‌ها همراه هستند و به صورت طیف سنگی گسترهای از شیست-سبز تا گارنت آمفیبولیت یافته می‌شوند (شکل ۲ الف). براساس بازدیدهای صحرایی و داده‌های زمین‌شیمیایی، سنگ‌های مادر متاپلیت‌ها روانه‌های بازالتی زیردریایی و سنگ‌های آتش‌نشانی - آواری وابسته هستند که در برخی مناطق چون جنوب آغل سیاه‌تول، ساخت بالشی سنگ‌های بازالتی والد آنها تا حد بسیاری محفوظ مانده و قابل مشاهده است (شکل‌های ۲ ب و پ). متاپلیت‌های مجرد شامل شیست‌سبز، آمفیبولیت و گارنت آمفیبولیت هستند و برگوارگی و خطوارگی بسیار بارزی را نشان می‌دهند. در برخی مناطق، ریزچین‌ها و چین‌های بسیار زیبایی در مقیاس‌های میلی‌متری تا دکامتری در این سنگ‌ها دیده می‌شود (شکل ۲ ت). آکتینولیت‌های موجود در آکتینولیت شیست‌ها به صورت بلورهای سوزنی‌شکل با ساختار انگشتی تا پاپیونی ظاهر شده‌اند (شکل ۲ ث). در برخی نقاط، رگه‌های سیلیسی در مقیاس سانتی‌متری تا دسی‌متری متاپلیت‌ها را قطع کرده‌اند. این رگه‌های سیلیسی، برآمده از ته نشت و تبلور سیال‌ها در اثر واکنش‌های دگرگونی آبزدا و واپاشی کلینوپیروکسن‌های متاپلیت‌ها به آمفیبولیت (شکل ۲ ج).

### روش پژوهش

طی بازدیدهای صحرایی و بررسی همزمان روابط صحرایی متاپلیت‌ها با دیگر سنگ‌های دگرگونی منطقه مجرد، حدود ۱۵۰ نمونه سنگ برداشت شد و جهت بررسی‌های میکروسکوپی از بیشتر آنها مقطع نازک تهیه گردید. به منظور بررسی ویژگی‌های زمین‌شیمیایی، ۱۱ نمونه سنگی با کمترین میزان دگرسانی در مؤسسه زمین‌شناسی و زمین‌فیزیک انجمن علوم چین که دارای شهرت و اعتبار جهانی است، مورد تجزیه شیمیایی شدند. مقادیر عنصر اصلی به روش طیف‌سنجدی فلئورسانس پرتوی X (XRF) و عناصر کمیاب به روش طیف‌سنجدی (ICP-OES) و طیف‌سنجدی نشر نوری پلاسمای جفت شده القایی (ICP-MS) تعیین شدند. تعیین سن و اندازه‌گیری نسبت‌های ایزوتوپ‌های U و Pb به روش طیف‌سنجدی نشر جرمی پلاسمای جفت شده لیزری (LA-ICPMS) در آزمایشگاه دگرگونی‌های سنگ کره‌ای دانشگاه نورث وست شیان در کشور چین انجام شده است.



شکل ۳ تصاویر میکروسکوپی نشان‌دهنده برخی از ویژگی‌های سنگ‌نگاری بارز متابازیت‌های مجموعه دگرگونی ماجرا؛ الف - آکتینولیت شیست دارای شکفته بلورهای آکتینولیت و سایه فشاری تشکیل شده در مجاورت آنها که به صورت پهنه‌های دارای دانه‌های ریز کلسیت ظاهر شده‌اند، ب و پ) برگوارگی بارز ناشی از حضور هورنبلند و اسفن در آمفیبولیت‌ها، ت) گارنت و هورنبلند در گارنت آمفیبولیت، ث) ریزچین‌های با مقیاس میکروسکوپی در آمفیبولیت‌ها و ج) بلورهای ماهی‌شکل هورنبلند در آمفیبولیت‌ها.

تجزیه‌های شیمیایی این مناطق نیز استفاده شده است [۲۳] که همخوانی خوبی بین این نتایج وجود دارد (شکل ۴ ت). براساس نمودار  $P_2O_5$ -Zr نسبت به CaO متابازیتی ماجرا دارای ماهیت قلایی و بهندرت تولیتی هستند (شکل ۴ ث).

#### محیط زمین‌ساختی و خاستگاه ماقمایی

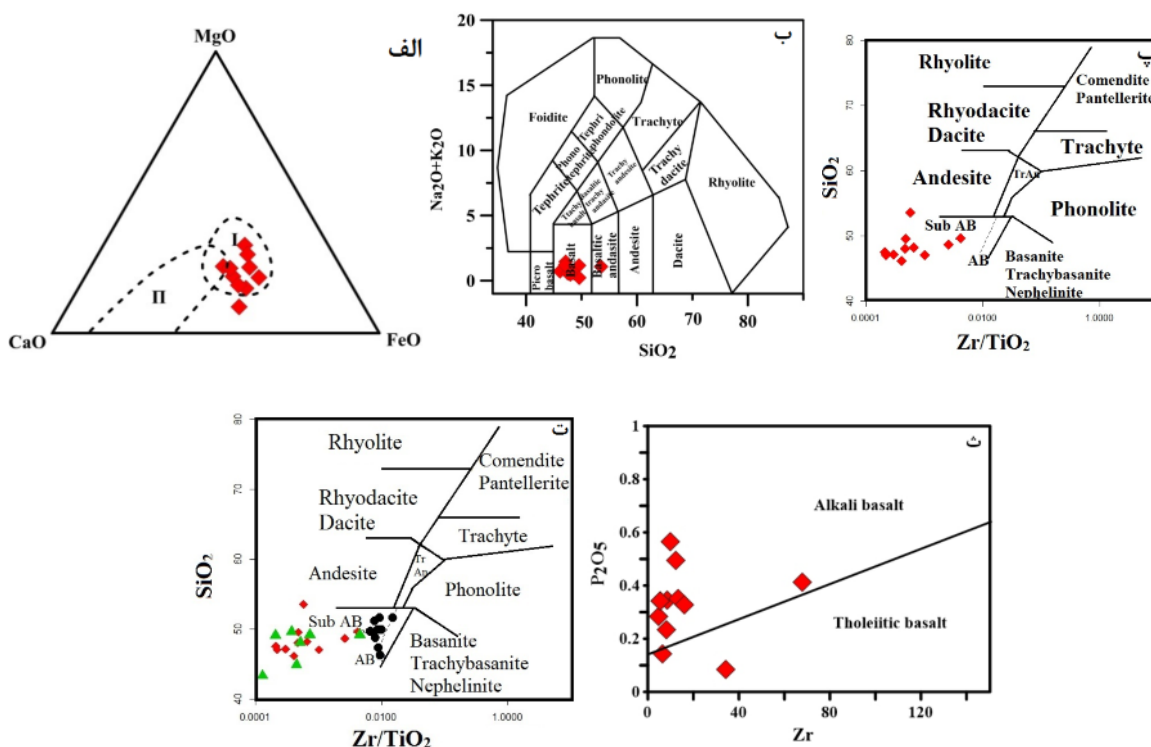
الگوی تغییرات عناصر خاکی نادر بهنجار شده نسبت به کندریت [۲۴] (شکل ۵ الف) نشان‌گر غنی‌بودن نسبی متابازیت‌های ماجرا از عناصر خاکی نادر سبک (LREE) و تغییر نسبت آنها از  $La_N/Yb_N$  از ۰/۷۷ تا ۱/۷۵ است. متابازیت‌های ماجرا بر نمودارهای عنکبوتی بهنجار شده نسبت به بازالت‌های پشت‌های میان اقیانوسی نوع مورب تهی شده [۲۵] و نسبت به گوشته اولیه و بازالت‌های جزایر اقیانوسی (OIB) [۲۵]، تهی‌شدگی از Zr (از عناصر با شدت میدان بالا، همچنین Pb نشان می‌دهند (شکل‌های ۵ ب و پ). غنی‌شدگی از Pb و عناصر سنگدوست بزرگ‌یون را می‌توان به آلیش ماقما به مواد پوسته‌ای طی صعود و جایگیری آن نسبت داد [۲۶] (شکل ۵ ت).

#### بحث: نام‌گذاری و تعیین سری ماقمایی سنگ‌های مادر متابازیت‌ها

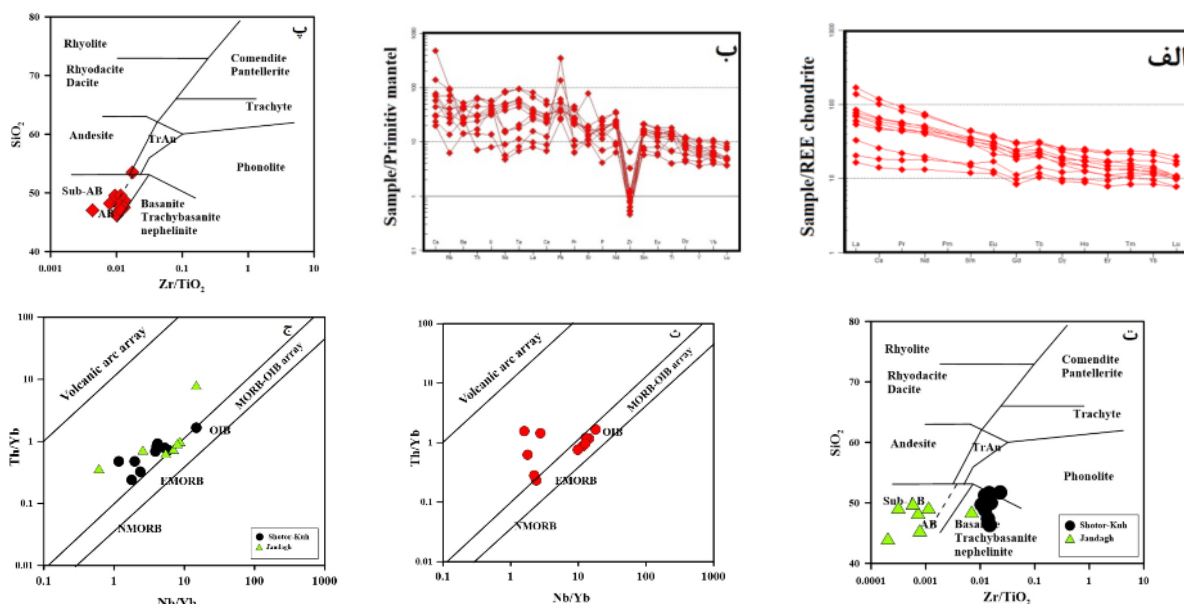
نتایج تجزیه شیمیایی سنگ کل ۱۱ نمونه متابازیتی شامل عناصر اصلی، فرعی و خاکی نادر در جدول ۱ ارائه شده است. با توجه به شواهد صحرایی به ویژه ساختهای بالشی بازماندی، سنگ‌والد این متابازیت‌ها بازالت بوده است. جایگاه ترکیبی متابازیت‌های ماجرا در گستره I در نمودار مثلثی - CaO - MgO - FeO<sub>4</sub> [۲۱] نیز سنگ‌والد آذرین آنها را تأیید می‌کند (شکل ۴ الف). بر اساس نمودار رده‌بندی سنگ‌های آذرین بیرونی [۲۲]، ترکیب سنگ مادر متابازیت‌های ماجرا بیشتر در گستره ترکیبی بازالت‌ها قرار می‌گیرد (شکل ۴ ب). با توجه به دگرگونه‌بودن سنگ‌های مورد بررسی و تحرک بالای عناصر فرایندهای دگرگونی، استفاده از نمودارهای بر پایه عناصر کم-تحرک‌تر مانند زیرکنیم و تیتانیم، مانند نمودار  $Zr/TiO_2$  نسبت  $SiO_2$  [۲۳]، نتایج مطمئن و قابل اعتمادتری به دست می‌دهد (شکل ۴ پ). برای مقایسه جایگاه ترکیبی متابازیت‌های منطقه ماجرا با متابازیت‌های شترکوه و جندق، از نتایج

جدول ۱ نتایج تجزیه شیمیایی سنگ کل متابازیت‌های مجموعه دگرگونی ماجراد به روش‌های XRF و ICP-MS

نمونه	۱۰۰-KM	۱۱۲-KM	۱۴۷-KM	۲۱۲-KM	۲۱۲-۲KM	۲۱۴-KM	۲۶-KM	۲۹۰-KM	۸۰-KM	۹۰-KM	۳۵۲-KM
SiO <sub>2</sub>	۴۷,۰۹	۴۷,۸۵	۴۹,۶۳	۴۷,۱۱	۴۸,۰۶	۴۵,۱۳	۴۵,۸۹	۴۳,۰۷	۴۴,۶۸	۴۴,۴۹	۵۱,۱۳
TiO <sub>2</sub>	۲,۰۶	۱,۲۷	۱,۲۹	۲,۰۵	۰,۷۸	۲,۴۹	۲,۶۸	۲,۸۱	۲,۱۵	۲,۳۸	۰,۵۲
Al <sub>2</sub> O <sub>3</sub>	۱۴,۶۱	۱۵,۳۷	۱۴,۶۸	۱۳,۸۸	۱۶,۳۱	۱۴,۰۹	۱۴,۲	۱۳,۵۱	۱۶,۹۵	۱۶,۰۲	۱۵,۶۱
Fe <sub>2</sub> O <sub>3</sub> t	۱۳,۸	۱۱,۰۲	۹,۹۱	۱۴,۱۶	۷,۳۸	۱۶,۸۵	۱۳,۴۴	۱۶,۷۱	۱۳,۲۶	۱۴,۲۶	۹,۵۹
MnO	۰,۱۶	۰,۱۷	۰,۲۱	۰,۲۱	۰,۱۳	۰,۱۸	۰,۲	۰,۱۹	۰,۱۴	۰,۱۳	۰,۱۶
MgO	۷,۱۵	۶,۸۳	۶,۰۴	۵,۱	۹,۱۴	۴,۱۴	۵,۵	۴,۷۳	۶,۰۳	۶,۳۲	۷,۷۲
CaO	۹,۳	۱۰,۶۸	۸,۴۶	۸,۸۶	۱۲,۵۷	۷	۱۰,۸۹	۸,۲۱	۶,۷۹	۷,۹۴	۹,۰۶
Na <sub>2</sub> O	۱,۵۳	۱,۹۲	۱,۳۰	۴,۰۰	۲,۱۷	۲,۹۲	۲,۱	۳,۰۰	۳,۲۲	۱,۵۲	۱,۹۸
K <sub>2</sub> O	۰,۶۵	۱,۱۳	۱,۰۰	۰,۵۶	۰,۲۲	۱,۳۹	۰,۴۶	۰,۶۷	۰,۵۴	۱,۱۳	۱,۱۵
P <sub>2</sub> O <sub>5</sub>	۰,۳۴	۰,۱۴	۰,۲۲	۰,۴۰	۰,۰۸	۰,۵۴	۰,۳۴	۰,۴۶	۰,۲۷	۰,۳۲	۰,۱۸
افت گرمایی	۱,۸۸	۲,۴۲	۵,۸۲	۸,۸۴	۲,۴۸	۳,۴۴	۳,۱۴	۵,۸۲	۵,۳۸	۴,۳۶	۱,۹
مجموع	۹۹,۵۶	۹۸,۶۰	۹۸,۵۶	۱۰۵,۶۳	۹۹,۴۲	۹۹,۱۷	۹۸,۷۴	۹۹,۱۸	۹۹,۴۱	۹۸,۹۸	۹۸,۸۹۷۱
Li	۴۸,۸	۸,۱۸۴	۲۴,۶	۷,۷۵	۴,۸۴	۱۵,۹	۶,۵۱	۱۱,۷	۱۲,۴	۲۱,۱	۱۰,۵
Be	۰,۸۷	۰,۵۰	۱,۱۲	۱,۰۵	۰,۲۹	۱,۳۳	۱,۵۹	۰,۷۲	۰,۹۶	۰,۵۹	۰,۶۲
Sc	۳۱,۱	۴۱,۷	۴۰,۸	۴۵,۵	۴۶,۱	۲۹	۳۴,۲	۳۷,۹	۳۴,۳	۲۴,۴	۳۹,۹
V	۳۰	۲۳۶	۲۲۴	۳۵۸	۱۸۱	۳۳۳	۲۹۹	۴۱۹	۲۴۷	۲۲۱	۲۰۷
Cr	۱۳۷	۱۲۲	۲۳۶	۳۹,۲	۳۶۸	۱۱,۶	۴۶,۸	۴۵,۶	۱۴۳	۲۴,۹	۱۰۳
Co	۴۹	۳۷,۹	۳۳,۱	۴۳,۱	۴۲,۶	۴۷,۱	۴۷	۴۷,۹	۵۳,۷	۵۱,۱	۴۴,۵
Ni	۴۷,۹	۳۱,۹	۴۵,۷	۲۸,۶	۹۹	۱۰,۴	۴۹,۲	۴۶,۱	۵۶	۵۱,۴	۴۲,۱
Cu	۶۰,۵	۷۰,۳	۵۸,۴	۱۱۱	۸۹,۹	۵۲,۸	۱۰,۸	۹۹,۱	۴۹	۴۸,۵	۳۸,۲
Zn	۱۹۷	۱۲۴	۱۵۲	۱۸۴	۷۶,۴	۲۰,۶	۱۹۰	۱۵۱	۱۴۹	۱۸۶	۸۷,۱
Ga	۲,۰۶	۱۶,۸	۱۸,۸	۲۱,۴	۱۶,۱	۲۰,۷	۲۰,۵	۲۰,۶	۲۱,۳	۲۱,۶	۱۶,۴
Rb	۱۳,۴	۲۴,۲	۵۴,۵	۱۶,۷	۳,۷	۴۲,۶	۸,۱	۱۶,۳	۱۹,۷	۵۷,۱	۲۴,۶
Sr	۳۲۷	۲۱۹	۳۲۵	۲۵۴	۲۱۵	۳۹۳	۲۶۸	۲۲۴	۳۷۰	۱۵۵۱	۱۷۷
Y	۲۳,۲۰	۲۳,۰۰	۲۳,۹	۴۶,۷۰	۱۵,۳۰	۳۵,۹۰	۳۰,۸۰	۴۳,۳۰	۲۵,۷۰	۲۸,۶۰	۱۸,۴۰
Mo	۰,۵۵	۰,۴۴	۰,۶۹	۰,۶۵	۰,۵۸	۰,۴۴	۰,۹۳	۰,۳۷	۰,۷۷	۰,۴۵	۰,۴۷
Cd	۰,۱۴	۰,۱۷	۰,۱۵	۰,۱۴	۰,۱۲	۰,۱۹	۰,۱۸	۰,۱۶	۰,۱۱	۰,۱۱	۰,۰۷
In	۰,۰۸	۰,۰۹	۰,۰۹	۰,۱۱	۰,۰۴	۰,۱۱	۰,۰۵	۰,۰۹	۰,۰۹	۰,۰۹۴	۰,۰۷
Sb	۰,۶۹	۰,۵۱	۰,۷۰	۱,۰۴	۰,۳	۰,۲۸	۰,۵۲	۰,۳۳	۰,۶۲	۰,۴۶	۰,۳۱
Cs	۱,۲	۰,۶۲	۲,۹۳	۱,۴۷	۰,۴۱۶	۱,۴۸	۰,۵	۰,۶۵	۱,۶۲	۱۰	۰,۹۳
Ba	۲۸۰	۱۷۴	۱۴۱	۹۴,۱	۹۳,۶	۲۳۹	۱۷۲	۲۶۵	۱۵۱	۱۹۰	۲۹۵
La	۲۲,۳۰	۸,۳۳	۲۱,۶۰	۱۶,۷۰	۵,۱۴	۴۲,۸۰	۲۴,۱۰	۵۲,۵۰	۱۸,۶۰	۲۶,۱۰	۱۰,۲۰
Ce	۴۷,۱	۱۴,۹	۴۳,۷	۳۷,۴	۱۱,۴	۸۲,۱	۵۲,۲	۹۵,۸	۳۹,۲	۵۳	۲۰,۸
Pr	۶,۳۹	۲,۱۶	۵,۷۸	۵,۴۴	۱,۶۱	۹,۹۸	۶,۸۱	۱۱,۴	۵,۳۳	۷,۰۴	۲,۶۸
Nd	۲۸,۱۰	۱۰,۸۰	۲۵,۳۰	۲۶	۸,۰۱	۴۲,۶	۳۱,۱۰	۴۴,۷۰	۲۴,۱۰	۳۰,۲۰	۱۱,۹۰
Sm	۶,۱۸	۳,۱۴	۵,۷۵	۶,۸۸	۲,۳۳	۸,۷۱	۶,۹۳	۸,۵۷	۵,۶۵	۶,۳۷	۲,۱۱
Eu	۲,۱۳	۱,۲۵	۱,۵۷	۲,۲۶	۰,۸۷	۲,۷۸	۲,۳	۲,۶۳	۱,۸۶	۱,۹۹	۰,۹۴
Gd	۵,۲۹	۲,۹	۵,۱۱	۶,۳۱	۲,۱۸	۷,۷	۶,۷	۸	۴,۶۸	۵,۵۶	۲,۵۴
Tb	۰,۹۷۷	۰,۶۷۲	۱,۰۵	۱,۴۱	۰,۴۹۷	۱,۴۲	۱,۱۷	۱,۵	۰,۹۵	۱,۰۸	۰,۵۶
Dy	۴,۹۴	۳,۹۴	۵,۹۲	۸,۷۷	۲,۹	۷,۴۵	۶,۲۷	۸,۰۱	۵,۱۴	۵,۶۷	۳,۱۶
Ho	۰,۹۱۸	۰,۸۹۸	۱,۲۶	۱,۸	۰,۶۴	۱,۴	۱,۲۳	۱,۶۹	۱,۸	۱,۷	۰,۶۹
Er	۲,۳۱	۲,۳۳	۳,۴۸	۴,۷۷	۱,۶۵	۳,۶۵	۲,۱۱	۴,۶۶	۲,۷۹	۲,۷۸	۲
Tm	۰,۳۳	۰,۳۹	۰,۵۷	۰,۷۷	۰,۲۷	۰,۵۱	۰,۴۷	۰,۷۰	۰,۴۴	۰,۴۲	۰,۳۶
Yb	۲	۲,۴۶	۳,۶	۴,۷۸	۱,۷۶	۲,۹۸	۲,۸۲	۴,۳۳	۲,۵۵	۲,۶۵	۲,۳۳
Lu	۰,۲۵	۰,۳۵	۰,۵	۰,۶۴	۰,۲۵	۰,۳۵	۰,۲۵	۰,۵۵	۰,۳۱	۰,۳۴	۰,۳۳
W	۰,۴۳	۰,۵۲	۱,۴۲	۰,۲۶	۰,۳۷	۰,۷۶	۰,۵۷	۰,۵۷	۰,۵۸	۰,۸۲	۰,۴۴
Tl	۰,۰۷	۰,۲۰	۰,۳۴	۰,۱۵	۰,۰۵	۰,۱۸	۰,۰۳	۰,۰۷	۰,۹	۰,۳۵	۰,۱۹
Pb	۹,۱۴	۵۲,۳	۲۰,۴	۷,۹۹	۳,۸۹	۷,۹۶	۵,۹۶	۴,۱	۵,۴	۵,۹۱	۷,۹۱
Bi	۰,۰۳	۰,۱۰	۰,۴۲	۰,۰۴	۰,۰۴	۰,۰۴	۰,۰۳	۰,۰۸	۰,۰۵	۰,۱۰	۰,۰۸
Th	۲,۲۴	۰,۵۶۷	۵,۱۸	۱,۳۵	۱,۱	۴,۹۵	۲,۴۸	۵,۱۹	۱,۹۴	۲,۵۴	۳,۶۲
U	۰,۶۵۹	۰,۱۵۹	۱,۱۲	۰,۸۰۴	۰,۲۷۴	۱,۱۵	۰,۷۴	۰,۹۵	۰,۶۲	۰,۹۰	۰,۹۰
Nb	۲۸,۸	۵,۹	۹,۹	۱۰,۶	۳,۱۱	۵۳,۹	۳۲,۴	۵۵,۴	۲۵,۱	۳۲,۷	۲,۷۱
Ta	۱,۹	۰,۴۲	۰,۷۷	۰,۶۶	۰,۲۵	۳,۴۷	۲,۱۲	۳,۵۱	۱,۶۳	۲,۲۴	۰,۳۰
Zr	۸,۸۵	۶,۵۶	۸	۶۸	۳۴,۲	۱۰	۱۳,۲	۱۲,۲	۴,۷۸	۵,۵۸	۵,۴۷
Hf	۰,۴۹	۰,۴۹	۰,۴۴	۲,۵۴	۱,۴۴	۰,۳۸	۰,۶۲	۰,۴۹	۰,۲۴	۰,۳۶	۰,۴۹



شکل ۴ جایگاه نمونه‌های متابازیتی مجموعه دگرگونی ماجراد در: الف - نمودار مثلثی مرجع [۲۱] جهت تفکیک ارتوامفیبولیت‌ها (I) و پاراامفیبولیت‌ها (II)، ب - نمودار  $\text{Na}_2\text{O}+\text{K}_2\text{O}$  نسبت به  $\text{SiO}_2$  [۲۲]، پ) نمودار  $\text{SiO}_2$  نسبت به  $\text{Zr}/\text{TiO}_2$  نسبت به [۲۳] به منظور نامگذاری سنگ‌های آذرین بیرونی مادر متابازیت‌ها، ت) نمودار مقایسه موقعیت ترکیبی متابازیت‌های ماجراد و شترکوه، (دایره‌های سیاه رنگ) و جندق (مثلث‌های سبز رنگ) و ث) نمودار  $\text{P}_2\text{O}_5$  نسبت به  $\text{Zr}$  برای تعیین سری ماقمایی [۲۳].



شکل ۵ جایگاه نمونه‌های متابازیتی مجموعه دگرگونی ماجراد در الف) نمودار تغییرات عناصر خاکی نادر بهنجار شده نسبت به کندریت [۲۴]، ب) نمودار عنکبوتی بهنجار شده به گوشه اولیه [۲۵]، پ) نمودار عنکبوتی بهنجار شده به  $\text{Ce}/\text{Pb}$  نسبت به  $\text{MgO}$  [۲۵]، ت) نمودار OIB نسبت به  $\text{Th}/\text{Yb}$  [۲۷] برای نمونه‌های متابازیتی ماجراد، ج) نمودار  $\text{Ta}/\text{Yb}$  نسبت به  $\text{Nb}/\text{Yb}$  [۲۷] برای نمونه‌های متابازیتی ماجراد، شترکوه و جندق.

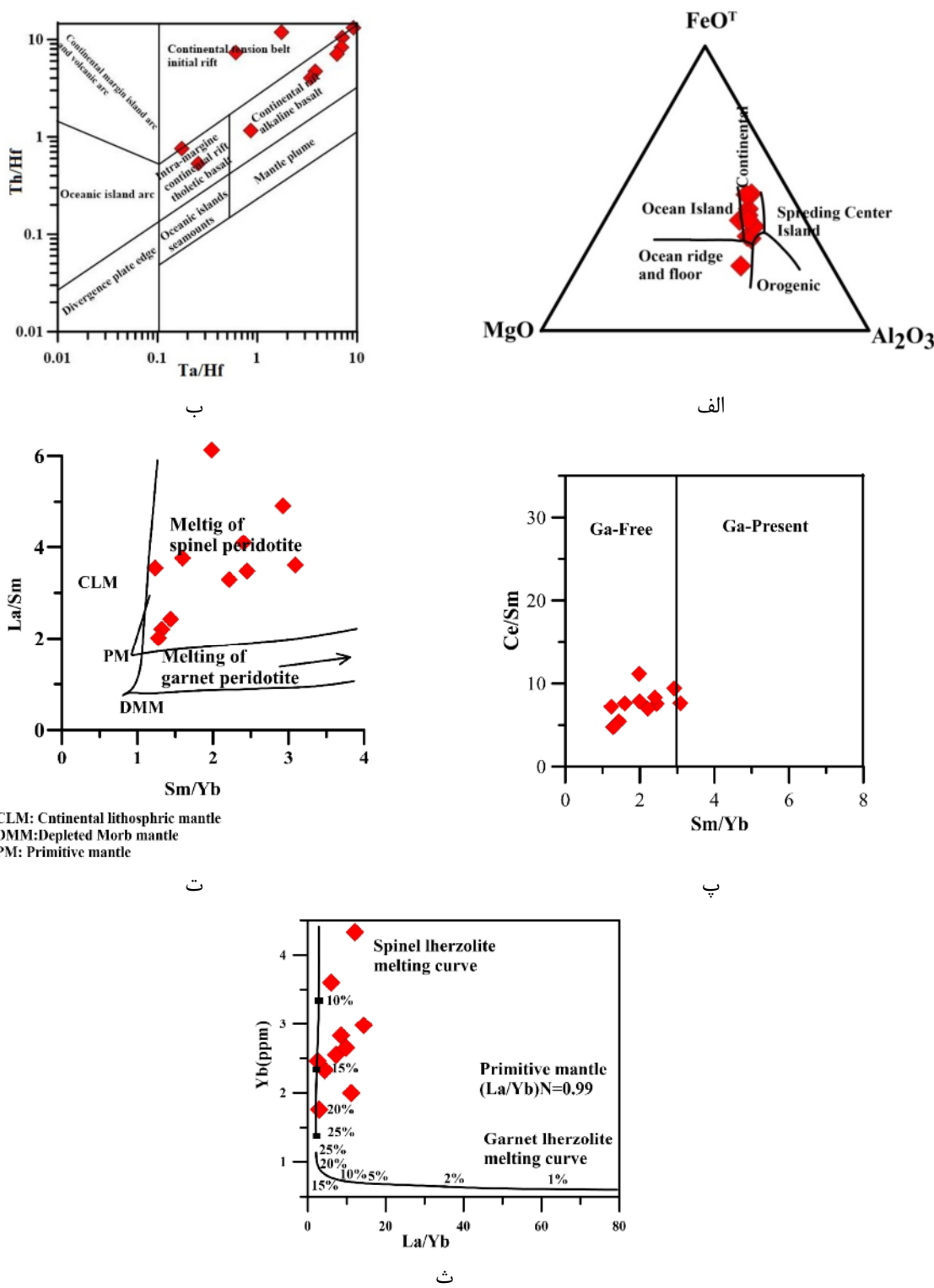
برای تشخیص جایگاه زمین‌ساختی نمونه‌های متابازیتی از نمودار  $MgO-Al_2O_3-FeO^T$  [۲۹] استفاده شد. این نمودار براساس اکسیدهای اصلی رسم شده است و سنگ‌های بازی تا حد واسط محیط‌های مختلف را تفکیک می‌کند که نمونه‌های مورد بررسی در گستره بازالت‌های درون‌قاره‌ای قرار می‌گیرند (شکل ۶ الف). نمونه‌های متابازیتی در نمودار  $Th/Hf$  نسبت به  $Ta/Hf$  [۲۹] در گستره بازالت‌های کافت‌های درون‌قاره‌ای قرار می‌گیرند (شکل ۶ ب).

از نمودار  $Ce/Sm$  نسبت به  $Sm/Yb$  [۳۰] برای تشخیص حضور یا عدم حضور گارنت در محل خاستگاه استفاده می‌شود. ذوب‌بخشی یک منبع گوشه‌ای گارنت‌دار، مذابی با مقادیر  $Sm/Yb$  بیش از  $2/5$  نسبت به خاستگاه را ایجاد می‌کند. میانگین این نسبت برای نمونه‌های متابازیتی مورد بررسی ۱,۹۹ است و در جایگاه بدون گارنت قرار می‌گیرند (شکل ۶ پ). از زمین‌شیمی عناصر خاکی نادر برای تعیین درجه ذوب‌بخشی و عمق خاستگاه گوشه‌ای ماقمای اولیه استفاده می‌شود. براساس نمودار  $La/Sm$  نسبت به  $Sm/Yb$  سازنده سنگ مادر نمونه‌های متابازیتی ماجرا در ذوب‌بخشی یک خاستگاه اسپینل لرزولیتی سرچشمه گرفته است (شکل ۶ ت) [۳۱]. جهت تعیین درجه ذوب‌بخشی گوشه محل منبع نمونه‌های متابازیتی از نمودار  $Yb/La/Yb$  نسبت به [۲۵] استفاده شد. بر اساس این نمودار، ماقمای والد این سنگ‌ها از ذوب‌بخشی ۱۰ تا ۱۵ درصدی یک خاستگاه اسپینل لرزولیتی سرچشمه گرفته است (شکل ۶ ث).

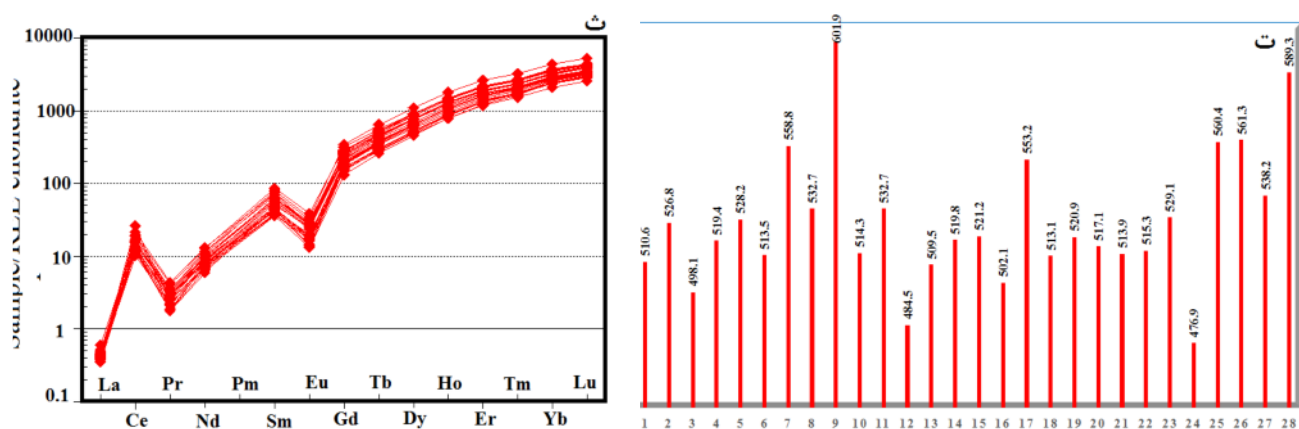
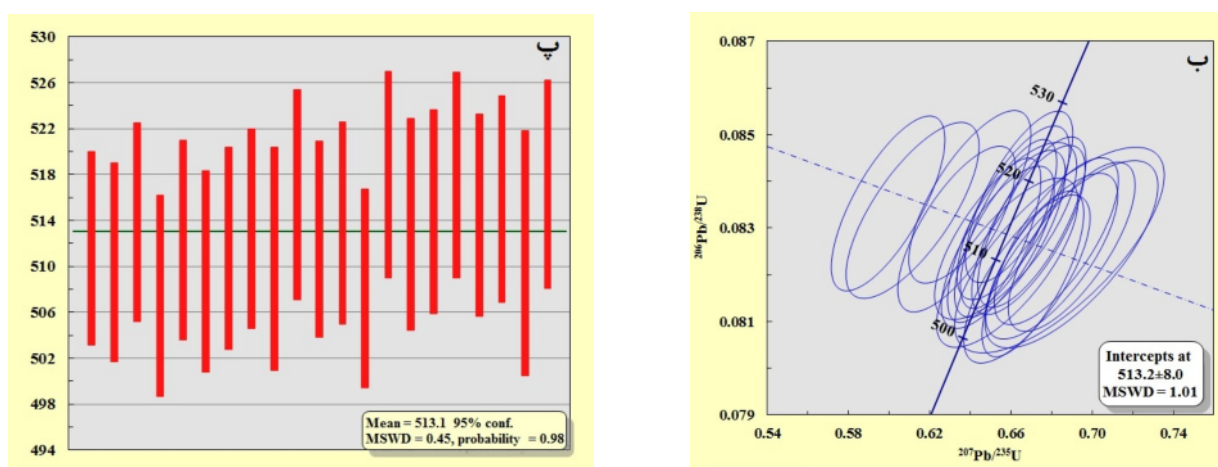
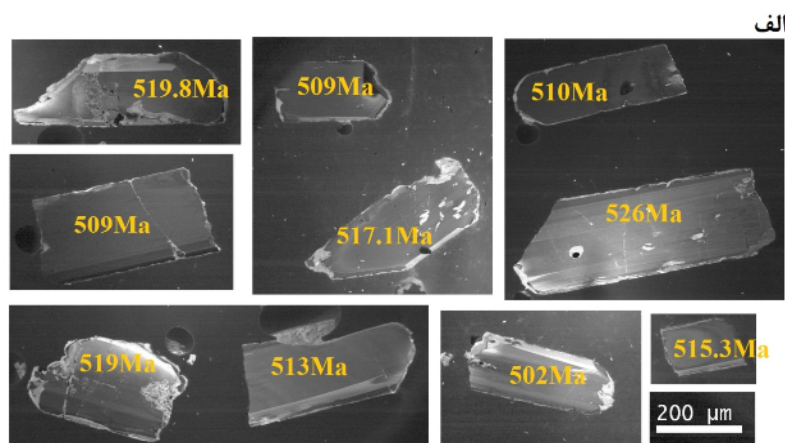
### سن سنجی

نتایج برآمده از سن سنجی به روش  $U-Pb$  بر روی کانی زیرکن در جدول ۲ ارائه شده است. زیرکن یک کانی فرعی غنی از اورانیوم است که در طیف گسترده‌ای از سنگ‌ها وجود دارد و به عنوان بهترین زمین زمان‌سنج در سن سنجی‌های ایزوتوپی استفاده می‌شود. از میان روش‌های سن سنجی ایزوتوپی رایج در چند دهه اخیر، روش‌های برپایه استفاده از ریزپرتوها مانند طیف‌سنじ جرمی یون ثانویه (SIMS) و LA-ICPMS کاربرد گسترده‌ای یافته‌اند. در روش LA-ICPMS، قطر ناحیه مورد بررسی حدود ۳۰ تا ۶۰ میکرون و مقدار خطای اندازه‌گیری در گستره ۱ تا ۱۰ درصد است که به صورت ۲۵% بیان می‌شود. بررسی عکس‌های کاتد و لومینیسانس (CL) زیرکن‌های جدا شده از نمونه متابازیتی نشان می‌دهد که بیشتر زیرکن‌ها خودشکل، شفاف و بدون هسته موروثی هستند و اندازه آنها بین  $600-200 \mu\text{m}$  متغیر است (شکل ۷ الف).

به منظور بررسی دقیق‌تر ویژگی‌های خاستگاه سنگ مادر متابازیت‌های ماجرا، جایگاه نمونه‌های متابازیتی در نمودار  $Th/Yb$  نسبت به  $Ta/Yb$  [۲۷]، الگوی بهنجار شده عناصر فرعی و عناصر خاکی نادر این سنگ‌ها نسبت به گوشه‌های EMORB و OIB رسم شد. الگوی تغییرات متابازیت‌های مورد بررسی با غنی‌شدگی از عناصر خاکی نادر سبک نسبت به عناصر خاکی نادر سنگین، غنی‌شدگی از عناصر سنگ دوست بزرگ‌یون و تهی‌شدگی از عناصر با شدت میدان بالا به همراه نبود ناهنجاری منفی  $Ti$ ، سرچشمه گرفتن ماقمای سازنده سنگ‌های مادر متابازیت‌ها از خاستگاهی مشابه با خاستگاه بازالت‌های جزایر اقیانوسی (OIB) را تأیید می‌کند. چنین خاستگاهی در واقع می‌تواند سنگ کره زیفارهای تا حدی دگرنهاده باشد. نمونه‌های متابازیتی منطقه ماجرا در برخی نمودارهای زمین‌شیمیایی نوعی رفتار دوقطبی یا دودسته‌ای نشان می‌دهد که گروهی از آنها نسبت به گروه دیگر از تیتانیم غنی‌تر هستند. حضور اسفن و روتیل با فراوانی قابل توجه در مقاطع نازک این سنگ‌ها با این موضوع همخوانی دارد که البته در جریان تغییر و دگرگونی‌های سنگ‌شناسی و فرایند دگرگونی به وجود آمداند. این دو قطبی بودن در نمودارهای تعیین خاستگاه نیز دیده می‌شود، به طوری که بخشی از متابازیت‌ها بیشتر خاستگاه OIB یا شبه OIB و دسته دیگر بیشتر خاستگاهی مانند EMORB را نشان می‌دهند. شاید بتوان این دوقطبی بودن را چنین تفسیر کرد که طی گسترش محیط‌های کششی درون‌قاره‌ای، شرایط از مرحله حوضه‌های کششی درون‌قاره‌ای به سمت تشکیل حوضه‌های اقیانوسی اولیه با مذاب نوع EMORB پیش‌رفته است و سنگ کره قاره‌ای چنان نازک شده است که شرایط برای تشکیل بوسته‌های اقیانوسی فراهم شده و بازالت‌های میان‌اقیانوسی غنی‌شده به درون حوضه‌های آتش‌نشانی - رسوی نتوپزوتزوئیک‌پایانی راه یافته‌اند. برای اطمینان بیشتر در مورد این برداشت، از داده‌های زمین‌شیمیایی متابازیت‌های مناطق هم‌جوار و با تاریخچه زمانی مشابه چون شترکوه و جندق نیز استفاده شد که در مجموع آنها نیز خاستگاه دگرگونی از OIB تا EMORB را نشان می‌دهند. حضور سنگ‌های وابسته به پوسته و سنگ کره اقیانوسی در مجموعه دگرگونی جندق (دونیت، کرومیت، هارزبورزیت، گابرو، لوکوگابرو و بازالت‌های بالشی) در جایی معروف به ابراهیم زهرا (جنوب غرب عروسان) می‌تواند تأییدی بر این موضوع باشد. گفتنی است که حضور بقایای سنگ کره اقیانوسی در مجموعه دگرگونی چاپدونی [۲۸] گزارش شده است.



شکل ۶ جایگاه نمونه‌های متابازیتی مجموعه دگرگونی ماجرا در (الف) نمودار  $\text{MgO}-\text{Al}_2\text{O}_3-\text{FeOT}$  [۲۹] جهت تمایز محیط زمین‌ساختی سنگ‌های مادر نمونه‌های متابازیتی، (ب) نمودار  $\text{Th/Hf}$  نسبت به  $\text{Ta/Hf}$  [۲۹] برای تمایز محیط زمین‌ساختی سنگ‌های مادر نمونه‌های متابازیتی، (پ) نمودار  $\text{Ce/Sm}$  نسبت به  $\text{Sm/Yb}$  [۳۰] به منظور تشخیص حضور گارنت در خاستگاه ماقماهای سازنده سنگ‌های مادر نمونه‌های متابازیتی، (هـ) نمودار  $\text{La/Sm}$  نسبت به  $\text{Sm/Yb}$  جهت تعیین ماقمای والد نمونه‌های متابازیتی [۲۶] و (پـ) نمودار  $\text{Yb}$  نسبت به  $\text{La/Yb}$  برای تعیین درجه ذوب‌بخشی ماقمای اولیه سازنده سنگ مادر متابازیت‌های ماجرا [۲۵].



شکل ۷ الف- تصاویر کاتدولومینسانس زیرکن های جدا شده از نمونه متابازیتی (آمفیبولیت) مجموعه دگرگونی ماجراد که سن های به دست آمده برای هر نقطه از زیرکن ها بر آنها مشخص شده است. ب و پ) نمودار سازگاری و میانگین سنی رسم شده بر اساس نتایج تجزیه های ایزوتوبی به روش LA-ICPMS . ت) نمودار ستونی نشان دهنده تغییرات سنی زیرکن های استخراج شده از متبازیت های ماجراد و ث) نمودار تغییرات عناصر خاکی نادر بهنجار شده نسبت به کندریت [۲۴] برای زیرکن های اسخراج شده از نمونه آمفیبولیتی تعیین سن شده.

جدول ۲ نسبت‌های ایزوتوپی و سن‌سنگی U-Pb بر زیرکن‌های نمونه آمفیبولیتی مجموعه دگرگونی ماجرا.

نمونه نقطه	$^{207}\text{Pb}$ $^{206}\text{Pb}$	$\pm \sigma\%$	$^{207}\text{Pb}$ $^{235}\text{U}$	$\pm \sigma\%$	$^{206}\text{Pb}$ $^{238}\text{U}$	$\pm \sigma\%$	$^{208}\text{Pb}$ $^{232}\text{Th}$	$\pm \sigma\%$	$^{207}\text{Pb}$ $^{206}\text{Pb}$	$\pm \sigma\%$	$^{207}\text{Pb}$ $^{235}\text{U}$	$\pm \sigma\%$	$^{206}\text{Pb}$ $^{238}\text{U}$	$\pm \sigma\%$	$^{208}\text{Pb}$ $^{232}\text{Th}$	$\pm \sigma\%$	238U	232Th	
Km352-1	۰,۵۷۳۵	۰,۰۰۲۱۶	۰,۶۵۳۴۹	۰,۰۲۷۷۴	۰,۰۸۲۵۹	۰,۰۰۱۴۲	۰,۰۲۶۱۳	۰,۰۰۵۲	۰,۰۴۷	۱۱,۱۵	۰,۱۰۶	۱۳,۹۶	۰,۱۱۶	۱,۴۵	۰,۲۱۳	۱۰,۳۵	۳۷۶,۱۸	۲۴۴,۲۵	
Km352-2	۰,۵۹۸۲	۰,۰۰۲۴۹	۰,۶۸۰۰۶	۰,۰۲۶۵۶	۰,۰۸۲۴	۰,۰۰۱۴۵	۰,۰۲۶۷۲	۰,۰۰۵۵	۰,۰۷۲	۱۷,۸۱	۰,۲۶	۱۶,۰۵	۰,۱۰۴	۱,۶۴	۰,۳۲۹	۱۰,۸۶	۳۰۷,۰۳	۲۱۹,۱۲	
Km352-3	۰,۵۵۳۱	۰,۰۰۲۲۲	۰,۶۳۳۲۵	۰,۰۲۲۷۳	۰,۰۸۲۹۸	۰,۰۰۱۴۵	۰,۰۲۵۵۲	۰,۰۰۵۴	۰,۰۲۴	۱۶,۹۱	۰,۲۹۸	۱۴,۷۵	۰,۱۳۹	۱,۶۵	۰,۰۹۳	۱۰,۶۸	۳۲۲,۸	۲۷۴,۳۷	
Km352-4	۰,۵۹۰۹	۰,۰۰۲۴۱	۰,۶۶۷۸۵	۰,۰۲۵۴۳	۰,۰۸۱۹۱	۰,۰۰۱۴۷	۰,۰۲۵۲۹	۰,۰۰۵۵	۰,۰۷۶	۱۶,۳۵	۰,۱۹۴	۱۵,۴۸	۰,۰۷۵	۱,۷۷	۰,۰۴۸	۱۰,۷۵	۴۷۷,۲۴	۴۸۳,۹۵	
Km352-5	۰,۵۹۷۸	۰,۰۰۲۳۵	۰,۶۸۲۲۱	۰,۰۲۵۰۱	۰,۰۸۲۷۲	۰,۰۰۱۴۶	۰,۰۲۶۹	۰,۰۰۵۵	۰,۰۷۹	۱۷,۴۵	۰,۲۸	۱۵,۰۹	۰,۱۲۳	۱,۶۷	۰,۳۶۶	۱۰,۹۱	۳۱۶,۶۳	۳۰۰,۶۹	
Km352-6	۰,۵۷۹۸	۰,۰۰۲۶۴	۰,۶۵۸۱۷	۰,۰۲۸۴۸	۰,۰۸۲۲۶	۰,۰۰۱۴۸	۰,۰۲۶۲۵	۰,۰۰۵۶	۰,۰۷۸	۱۷,۲۵	۰,۱۳۵	۱۷,۴۴	۰,۰۹۶	۱,۷۹	۰,۲۳۶	۱۱,۱۱	۲۶۶,۷۲	۲۶۲,۴۳	
Km352-7	۰,۶۲۰۱	۰,۰۰۳۴۵	۰,۷۳۳۸۷	۰,۰۴۰۲۶	۰,۸۵۷۷	۰,۰۰۱۷۳	۰,۰۲۷۵	۰,۰۰۷۳	۰,۰۷۴	۱۷,۷۲	۰,۲۸۸	۱۷,۰۵	۰,۲۰۵	۱,۷۹	۰,۴۸۴	۱۴,۳۹	۳۸۳,۸۲	۲۹۳,۴۵	
Km352-8	۰,۶۰۵۳	۰,۰۰۲۴	۰,۶۸۹۹	۰,۰۲۵۵۳	۰,۰۸۲۶	۰,۰۰۱۴۸	۰,۰۲۷۲۸	۰,۰۰۵۶	۰,۰۷۶	۱۷,۱۳	۰,۲۲۷	۱۵,۳۴	۰,۱۱۶	۱,۷۹	۰,۴۴۴	۱۱,۰۴	۴۰۶,۳۹	۴۲۰,۴۶	
Km352-9	۰,۶۷۲۵	۰,۰۰۲۴۷	۰,۸۰۹۰۸	۰,۰۲۷۶۱	۰,۸۷۱۹	۰,۰۰۱۵۷	۰,۰۳۰۸۳	۰,۰۰۵۶	۰,۰۷۵	۱۷,۷۱	۰,۲۲۸	۱۵,۰۵	۰,۱۱۶	۱,۷۹	۰,۴۴۴	۱۱,۰۱	۴۳۲,۱۳	۳۵۱,۸۲	
Km352-10	۰,۵۷۶۷	۰,۰۰۲۱	۰,۶۵۹۴۹	۰,۰۲۲۳۲	۰,۸۲۸۸	۰,۰۰۱۴۶	۰,۰۲۷۷۱	۰,۰۰۵۶	۰,۰۷۱	۱۷,۸	۰,۲۱۳	۱۵,۳۴	۰,۱۱۶	۱,۷۹	۰,۴۴۴	۱۱,۰۱	۴۳۲,۱۳	۳۵۱,۸۲	
Km352-11	۰,۶۰۶۴	۰,۰۰۳۲	۰,۶۸۹۷۷	۰,۰۳۴۸۲	۰,۸۲۴۴	۰,۰۰۱۶۴	۰,۰۲۸۲۵	۰,۰۰۵۶	۰,۰۷۶	۱۷,۷۷	۰,۲۲۷	۱۷,۹۲	۰,۱۰۷	۱,۷۵	۰,۶۳۱	۱۳,۵۴	۴۴۸,۷۶	۴۸۴,۲	
Km352-12	۰,۵۳۱۶	۰,۰۰۲۴۴	۰,۶۱۱۴۸	۰,۰۲۶۸	۰,۸۳۳۸	۰,۰۰۱۵۴	۰,۰۲۵۹۸	۰,۰۰۵۶	۰,۰۷۶	۱۷,۱	۰,۲۱۳	۱۳,۶۶	۰,۱۳۳	۱,۶۹	۰,۵۵۲۵	۱۱,۰۱	۴۳۲,۱۳	۳۵۱,۸۲	
Km352-13	۰,۵۷۱	۰,۰۰۱۸	۰,۶۵۱۷۲	۰,۰۱۸۸۱	۰,۸۲۷۴	۰,۰۰۱۴۴	۰,۰۲۵۸۸	۰,۰۰۴۸	۰,۰۷۴	۱۷,۷۶	۰,۲۱۵	۱۱,۵۶	۰,۱۲۴	۱,۵۶	۰,۱۲۵	۹,۴۶	۵۳۵,۴۶	۵۷۳,۳۸	
Km352-14	۰,۵۸۴۲	۰,۰۰۲۱۴	۰,۶۶۸۰۷	۰,۰۲۲۸۴	۰,۸۲۹۹۶	۰,۰۰۱۴۸	۰,۰۲۵۳۲	۰,۰۰۵۲	۰,۰۷۵	۱۷,۰۶	۰,۲۰۸	۱۳,۹	۰,۱۳۸	۱,۸۳	۰,۰۵۸	۱۰,۱۵	۴۰۶,۶۹	۳۹۰,۹۴	
Km352-15	۰,۵۹۲۹	۰,۰۰۱۹۷	۰,۶۷۰۸	۰,۰۲۰۴۹	۰,۸۲۰۲	۰,۰۰۱۴۵	۰,۰۲۵۵۵	۰,۰۰۵۲	۰,۰۷۷	۱۷,۹	۰,۲۰۴۶	۰,۲۱۲	۱۲,۴۵	۰,۰۸۱	۱,۶۵	۰,۴۰۹	۱۰,۱۵	۵۸۲,۲۹	۴۵۶,۴۵
Km352-16	۰,۵۵۴۳	۰,۰۰۲۲۵	۰,۶۳۹۷۳	۰,۰۲۴۵۸	۰,۸۳۶۷	۰,۰۰۱۵۱	۰,۰۲۵۸۳	۰,۰۰۵۲	۰,۰۷۹	۱۸,۰۲	۰,۲۰۲۱	۱۵,۲۲	۰,۱۸	۱,۹۸	۰,۱۵۰۵	۱۰,۱۷	۳۷۶,۸۸	۴۲۸,۹۲	
Km352-17	۰,۵۹۱۷	۰,۰۰۲۲۲	۰,۷۲۴۳۴	۰,۰۲۶۸۲	۰,۸۸۷۵	۰,۰۰۱۶۲	۰,۰۲۷۴۶	۰,۰۰۵۶	۰,۰۷۳	۱۸,۲۵	۰,۲۰۲	۱۵,۷۹	۰,۱۴۸۲	۰,۰۵۹	۰,۴۷۵	۱۱,۰۱	۲۳۹,۰۲	۲۹۴,۷۲	
Km352-18	۰,۵۷۴۷	۰,۰۰۲۶۲	۰,۶۵۷۴	۰,۰۲۸۶۲	۰,۸۲۹۴	۰,۰۰۱۵۵	۰,۰۲۵۹۴	۰,۰۰۵۶	۰,۰۷۳	۱۷,۶	۰,۲۰۱۳	۱۷,۵۴	۰,۱۳۷	۱,۲۱	۰,۱۷۰	۱۱,۷۴	۲۵۱,۷۸	۲۱۵,۹۳	
Km352-19	۰,۵۸۴۹	۰,۰۰۲۰۴	۰,۶۷۰۲۸	۰,۰۲۱۷۹	۰,۸۱۳۱۳	۰,۰۰۱۴۹	۰,۰۲۵۱۴	۰,۰۰۵۹	۰,۰۷۴	۱۷,۲۸	۰,۲۰۰۹	۱۳,۲۴	۰,۱۴۸	۱,۸۹	۰,۰۱۹	۹,۷۶	۳۸۰,۵	۳۹۶,۳۴	
Km352-20	۰,۵۷۵۷	۰,۰۰۲	۰,۶۶۴۰۱	۰,۰۲۱۶	۰,۸۲۶۷	۰,۰۰۱۵	۰,۰۲۶۳۲	۰,۰۰۵۱	۰,۰۷۱	۱۷,۰۲	۰,۱۷۱	۱۳,۱۸	۰,۱۸	۱,۹۴	۰,۰۲۵۱	۱۰,۰۸	۴۱۰,۰۷	۴۲۸,۶	
Km352-21	۰,۵۷۵۳	۰,۰۰۱۸۳	۰,۶۵۸۷۸	۰,۰۱۹۳۷	۰,۸۳۰۹	۰,۰۰۱۴۸	۰,۰۲۶۱۵	۰,۰۰۵۱	۰,۰۷۱	۱۷,۰۷	۰,۱۱۴	۱۱,۸۶	۰,۱۴۵	۱,۷۹	۰,۰۲۱۱	۹,۹۹	۵۰۷,۴۵	۴۱۲,۲	
Km352-22	۰,۵۷۵۷	۰,۰۰۲۱	۰,۶۶۱۱	۰,۰۲۲۶۵	۰,۸۲۳۳۲	۰,۰۰۱۵۲	۰,۰۲۶۴	۰,۰۰۵۵	۰,۰۷۱	۱۷,۴۴	۰,۱۰۵۳	۱۳,۸۴	۰,۱۰۵	۹,۰۲	۰,۰۲۶۶	۱۰,۷۴	۴۰۰,۶۲	۳۲۲,۳۸	
Km352-23	۰,۶۰۱۳	۰,۰۰۳۸۲۰	۰,۶۸۳۸۸	۰,۰۴۲۲۲	۰,۸۲۵۳	۰,۰۰۱۸	۰,۰۲۸۵۳	۰,۰۰۹۴	۰,۰۷۰۸	۱۳۲,۱۱	۰,۵۲۹,۱	۲۵,۴۶	۰,۱۱۲	۱,۰۷	۰,۵۶۸,۷	۱۸,۳۸	۲۴۲,۵۵	۱۶۰,۱۵	
Km352-24	۰,۵۲۰۹	۰,۰۰۲۹	۰,۵۹۹۴۵	۰,۰۲۲۸۸	۰,۸۲۵۳۰	۰,۰۰۱۵۳	۰,۰۲۶۱۷	۰,۰۰۵۲	۰,۰۷۸	۱۸,۹	۰,۴۷۶,۹	۱۴,۵۳	۰,۱۷۲	۹,۰۸	۰,۵۲۲,۱	۱۰,۰۵	۴۳۴,۴	۳۸۵,۴۲	

بيانگر سن  $۵۱۳,۲ \pm ۸$  میلیون سال برای متابازیت‌های کامبرین پیشین همچومنی دارد (شکل‌های ۷ و پ). اما لازم به یادآوری است که در منطقه جنوب دوچاه، تعدادی تودهای

نتایج سن‌سنگی زیرکن‌های استخراج شده از متابازیت‌های مجموعه دگرگونی ماجرا گستره سنی  $۴۷۶,۹$  تا  $۶۰۱,۹$  میلیون سال را نشان می‌دهند. البته نمودار سازگاری رسم شده

کششی درون قاره‌ای کوچک و بزرگی تشکیل شده‌اند که گسترش برخی از آنها تا مرحله تشکیل پوسته اقیانوسی پیش‌رفته است. با توجه به ترکیب‌های سنگی بهجای مانده در منطقه ماجراج و مجموعه شواهد زمین‌شناسی صحرایی، سنگ‌های مادر این مجموعه دارای طیف ترکیبی متنوعی از شیل (پلیت)، ماسه‌سنگ، آهک، دولومیت، مارن، بازالت، ریولیت و آتش‌فشاری - آواری‌های وابسته هستند که به صورت مجموعه‌های دگرگونی با طیف ترکیبی گسترهای شامل متاپلیت، متاپسامیت، متاکربنات، متاپازیت و متاریولیت در این منطقه رخنمون یافته‌اند. در برخی از مجموعه‌های دگرگونی مانند جندق، علاوه بر متاپازیت‌های با سنگوالد بازالتی، طیف گسترهای از لوکوگابرو، پیروکسنت و هارزبورزیت‌های دگرگون شده نیز دیده می‌شود. سنگ‌های دگرگونی این مجموعه‌ها در شرایط دما - فشار رخسارهای شیست‌سیز تا آمفیبولیت بالایی و به ندرت تا گرانولیت تکامل یافته‌اند [۲۸].

متاپلیت‌ها در بیشتر مناطق پی‌سنگی، در بالاترین درجه خود، تا حد ذوب و تشکیل مذاب‌های گرانیتی پیش‌رفته‌اند [۵، ۸، ۱۰، ۱۱، ۱۲ و ۱۴] از سوی دیگر، ذوب آمفیبولیت‌ها و گارتنت‌آمفیبولیت‌ها به تشکیل ترکیب‌های تونالیتی منجر شده است [۱۵]. در شمال تنگه ماجراج تا شمال آغل سیاه‌تول، از تبلور فراورده‌های ذوب‌بخشی سنگ‌های متاپلیتی (پاراگنیس-های بیوتیت‌دار)، توده‌های گرانیتی روشن کوچکی تشکیل شده است که مقیاس چند متر تا چند صد متر رخنمون دارند [۱۱]؛ سنگ‌های مشابه در منطقه دوچاه و بندهزار چاه وسعتی حدود چندین کیلومتر مربع را به خود اختصاص داده‌اند.

به نظر می‌رسد که حوضه‌های کششی تشکیل شده در این مناطق اغلب به مرحله توسعه و تشکیل ورقه اقیانوسی گسترده‌ترسیده و بر اثر حاکم شدن یک نظام تراکمی، به سرعت بسته شده و مجموعه سنگ‌های درگیر در این فرایندها به صورت منشورهای بهم افزوده بر روری ورقه‌های قاره‌ای فرارانده شده و احتمالاً تا مرحله برخورد قاره - قاره پیش رفته‌اند. با این وجود، در برخی مناطق شواهدی از تشکیل پوسته اقیانوسی و گسترش این حوضه‌های کششی تا مرحله اقیانوس‌زایی گزارش شده است [۲۸، ۱۴]. رخنمون بسیار کم و محدود افیولیت‌های قدیمی خود شاهدی بر این ادعاست که در بیشتر مناطق،

گرانیتوئیدی روشن به درون این مجموعه دگرگونی نفوذ کرده-اند که تعیین سن انجام شده به روش U-Pb بر زیرکن‌های استخراج شده از آن‌ها، سن  $3/8 \pm 553$  میلیون سال، معادل آشکوب ادیاکارن (نئوپروتروزویک‌پیانی) را نشان می‌دهد [۱۳]. بنابراین سن به دست آمده برای این متابازیت‌ها، اگر چه در نگاه کلی وابسته بودن آنها به مجموعه‌های دگرگونی پی‌سنگی ایران را تأیید می‌کند، ولی به نظر می‌رسد که این سن باید با احتیاط مورد استناد قرار گیرد. داده‌های سنی به دست آمده برای متابازیت‌های مناطق همجوار (بندهزار چاه با ۳۵ میلیون سال و  $6/9 \pm 533/5$  میلیون سال، [۱۱] و متابازیت‌های شترکوه  $548 \pm 12$  میلیون سال، [۱۵]، نشانگر آن است که سن حقیقی متابازیت‌های همجوار باید بیش از آن باشد که از نمودار سازگاری سنی نتیجه می‌شود. نگاهی تفصیلی به مقادیر عددی سن‌های به دست آمده برپایه زیرکن‌های متابازیت‌های ماجراج، گستره سنی ۵۵۰ تا ۵۶۰ میلیون سال را نیز نشان می‌دهد که به نظر می‌رسد که منطقی‌ترین گستره سنی برای آن‌ها باشد. در مجموع، بیشتر نتایج سنی وابستگی مجموعه دگرگونی ماجراج و مجموعه‌های مشابه به اواخر نئوپروتروزوئیک را تأیید می‌کند.

گفتنی است که در کنار سن‌سنگی زیرکن‌های استخراج شده از متابازیت‌ها، مقادیر فراوانی عناصر خاکی‌نادر زیرکن‌ها نیز اندازه‌گیری شد. از مقادیر به دست آمده می‌توان برای تعیین خاستگاه متابازیت‌ها استفاده کرد. در نمودار REE بهنجارشده نسبت به کندریت [۲۴]، عناصر خاکی‌نادر سنگین زیرکن‌ها دارای طرح‌های پرشیب هستند. این زیرکن‌ها دارای ناهنجاری مشیت Ce و ناهنجاری منفی Eu هستند (شکل ۷). به باور برخی پژوهشگران [۳۴-۳۲] این ویژگی‌ها نشانگر یک سنگ مادر با ماهیت آذرین برای آمفیبولیت‌ها است. بنابراین آمفیبولیت‌های مجموعه دگرگونی ماجراج برآمده از سنگ مادر آذرین (بازالت‌ها) هستند.

## بحث

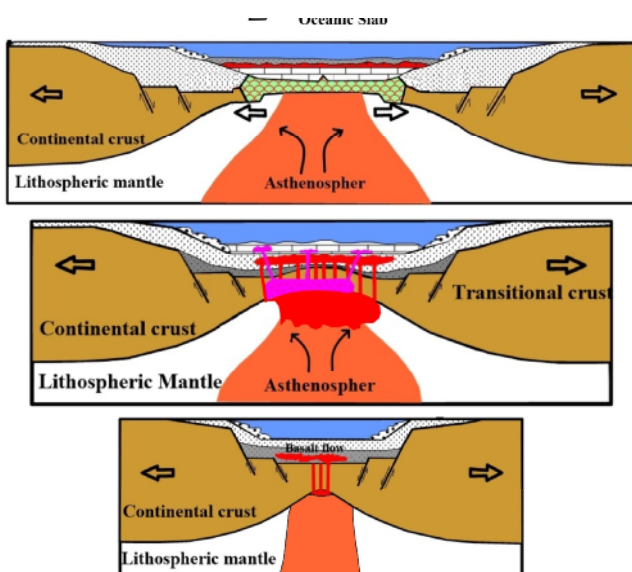
براساس بررسی‌هایی پیرامون مناطق پی‌سنگی نئوپروتروزوئیک پیانی مناطق قاره‌ای شمال گندوانا، بسیاری از پژوهشگران [۴-۵، ۱۵-۷] معتقدند که در اواخر نئوپروتروزوئیک، حوضه‌های

سعودی، مصر، اردن، ترکیه و اتیوپی [۱۷، ۱۸، ۱۹ و ۳۵] نشان می‌دهد که دگرگونی‌های زمین‌دینامیکی در این مناطق نیز به صورت تشکیل حوضه‌های کششی درون قاره‌ای بوده است که به ندرت تا مرحله اقیانوس‌زایی پیشرفت‌هے تحول یافته‌اند. به نظر می‌رسد که در نئوپروتروزوئیک، گوشته زمین فعال‌تر و درجه زمین‌گرمایی کلی زمین بالاتر بوده و توانسته است که چرخه‌های زمین ساختی فعال ولی کوتاه‌مدت ایجاد کند. با در نظر گرفتن شدت و ضعف بسته‌شدن و فروزانش‌های ناقص احتمالی و از سوی دیگر، فروزانش ورقه‌های سنگی (تختال)، سنگ‌های دگرگونی با درجه بسیار پایین (رخساره شیست سبز) تا بالا (اوخر رخساره آمفیبولیت-آغاز رخساره گرانولیت) ایجاد شده است. در برخی موارد، عدم توجه به این نکته باعث شده است تا به سنگ‌های دگرگونی دارای دگریختی بالا، سن قدیمی‌تر و به سنگ‌های دارای دگرگونی درجه ضعیفتر و همچنین دارای شدت دگریختی کمتر، سن جوان‌تر نسبت داده شود. با الهام از مدل زمین‌دینامیکی تشکیل دریای سرخ [۳۶]، بخشی از دگرگونی‌های زمین‌دینامیکی مناطق پی‌سنگی و گندوانایی شمال پهنه ساختاری ایران‌مرکزی به صورت نمادین در شکل ۸ نمایش داده شده‌است (شکل ۸).

حوضه‌های کششی درون قاره‌ای پیش از رسیدن به مرحله زایش پوسته اقیانوسی یا اندکی پس از آن بسته شده‌اند. با توجه به اینکه در گستره‌های سنی اندکی جوانتر از اواخر نئوپروتروزوئیک و کامبرین پیشین، در ایران فراورده‌های ماقمایی وابسته به پهنه‌های فروزانش دیده نمی‌شود، به نظر می‌رسد که اگر چه بخش‌هایی از ورقه‌های اقیانوسی در فرایند بسته‌شدن حوضه‌های مورد نظر سهیم بوده‌اند، ولی شرایط دما-فشار برای ذوب و تشکیل مذاب‌ها و کمان‌های ماقمایی مهیا نشده است.

بر اساس سن‌سنجه صورت‌گرفته به روش اورانیم - سرب بر زیرکن‌های استخراج شده از متابازیت‌های مجموعه دگرگونی ماجراد و همچنین داده‌های سن‌سنجه دیگر مجموعه‌های جنوب‌شرق شاهروд، سن‌های به دست آمده با نئوپروتروزوئیک پایانی (ادیاکارن) همخوانی دارد و وابستگی آنها به مناطق پی-سنگی و گندوانایی را تأیید کرده و نشان می‌دهند که مجموعه دگرگونی-آذرین ماجراد طی کوهزایی کادومین در گستره نئوپروتروزوئیک پایانی تشکیل شده است.

بررسی مستندات منتشر شده پیرامون سرزمین‌های پی-سنگی مشابه ولی با گستره سنی قدیمی‌تر در عربستان



توسعه رسوبگذاری توالی شیلی کربناته با میان لایه‌های بازالتی  
 مرحله پیشرفت‌هه  
 زایش ورقه اقیانوسی

صعود آستنوسفر به اعماق کم لیتوسفر قاره‌ای  
 توسعه میان لایه‌های بازالتی در بین رسوبات  
 مرحله میانی  
 توسعه ریفت

نازک شدن لیتوسفر قاره‌ای  
 بازشدگی درون قاره‌ای  
 رسوبگذاری شیل، سیلتستون، ماسه سنگ و میان لایه‌های آهکی  
 مرحله آغازی

شکل ۸ مدل زمین‌دینامیک نمادین برای دگرگونی‌های زمین ساختی مجموعه دگرگونی ماجراد در گستره زمانی نئوپروتروزوئیک پایانی.

Geological Society London Special Publications 173(2000)1–23.

[4] Hassanzadeh J., Stockli D.F., Horton B.K., Axen G.J., Stockli L.D., Grove M., Schmitt A.K., and Walker J.D., "U-Pb zircon geochronology of late Neoproterozoic -Early Cambrian granitoids in Iran: Implications for paleogeography, magmatism, and exhumation history of Iranian basement", Tectonophysics 451(2008)71–96.

[5] Ramezani J., Tucker R.D., "The Saghand Region, Central Iran: U-Pb geochronology, petrogenesis and implications for Gondwana tectonics", American Journal of Science 303(2003) 622-665.

[6] Bagheri S., Stampfli G.M., "The Anarak, Jandaq and Posht-e-Badam metamorphic complexes in central Iran: New geological data, relationships and tectonic implications", Tectonophysics 451(2008)123–155.

[7] Rahmati-Ikhchi M., Jerabek P., Faryad S.W., Koyi H.A., "Mid-Cimmerian, Early Alpine and Late Cenozoic orogenic events in the Shotor Kuh Metamorphic complex, Great Kavir Block, NE Iran", Tectonophysics 494(2010)101-117.

[8] Shafaii Moghadam H., Khademi M., Hu Z., Stern R J., Santos J F., Wu Y., "Cadomian (Ediacaran-Cambrian) arc magmatism in the ChahJam-Biarjmand metamorphic complex (Iran): Magmatism along the northern active margin of Gondwana", Gondwana Research 27(2013) 439 - 452.

[9] Monazzami Bagherzadeh R., Karimpour M.H., Lang Farmer G., Stern C.R., Santos J.F., Rahimi B., Heidarian Shahri M.R., "U-Pb Zircon geochronology petrochemical and Sr-Nd isotopic characteristic of late Neoproterozoic granitoid of the Bornaward complex (Bardaskan NE Iran)", Journal of Earth Sciences 111(2015)54-71.

[10] Balaghi Einalu M., Sadeghian M., Zhai M., Ghasemi H., Mohajjal M., "Zircon U-Pb ages, Hf isotopes and geochemistry of Schists, gneisses and granites in Delbar metamorphic- igneous Complex, SE of Shahrood (Iran)", Journal of Asian Earth Science, 92(2014)92-124.

[11] Hosseini S. H., Sadeghian M., Zhai M., Ghasemi H., "Petrology, geochemistry and zircon U-Pb dating of Band-e-Hezarchah metabasites (NE Iran): An evidence for back-arc magmatism

### برداشت

مجموعه دگرگونی ماجراجد واقع در جنوبشرق شهرود، طیف گستردگی از سنگهای دگرگونی به سن اواخر نئوپروتزوئیک را شامل می‌شود و توسط توالی‌های رسوبی تریاس پایانی - ژوراسیک پیشین پوشیده شده است. متابازیت‌ها سهم قابل توجهی از سنگهای دگرگونی این مجموعه را به خود اختصاص داده‌اند و شامل شیست سبز، آمفیبولیت و گارنت آمفیبولیت هستند. سنگ مادر این متابازیت‌ها شامل روانه‌های بازالتی زیردریایی و آتشفسانی - آواری‌های وابسته بوده‌اند که در حوضه‌های کششی درون قاره‌ای به سن اواخر نئوپروتزوئیک تشکیل شده‌اند. با توجه به نتایج حاصل از تحلیل داده‌های زمین‌شیمیایی، سنگ مادر متابازیت‌ها از خاستگاه‌هایی چون EMORB تا OIB سرچشم گرفته است. تغییرات عناصر خاکی نادر بهنجار شده نسبت به کندریت، غنی‌شدگی از عناصر خاکی نادر سبک (LREE) نسبت به عناصر خاکی نادر سنگین (HREE) و غنی‌شدگی از عناصر سنگدوست بزرگ‌یون (LILE) نشان می‌دهد که ماغمای مادر سازنده سنگ مادر متابازیت‌های ماجراجد بیشترین شباهت را به سنگ‌کره گوشه‌ای زیرقاره‌ای دارد و بی‌هنجاری‌های مشاهده شده در این سنگ‌ها، به احتمال زیاد از آلایش پوسته‌ای و دگرنهادی گوشه‌ای ناشی شده است. ماغمای سازنده سنگ والد این متابازیت‌ها از ذوب‌بخشی ۱۰ تا ۱۵ درصدی یک منبع گوشه‌ای اسپینل لرزولیتی ایجاد شده است.

### مراجع

- [1] Golonka J., "Chapter 6 Phanerozoic palaeoenvironment and palaeolithofacies maps of the Arctic region", Geological Society, London, 35(2011)79-129.
- [2] Linnemann U., Romer R.L., Gerdes A., Jeffries T.E., Drost K., Ulrich J., "The Cadomian orogeny in the Saxo-Thuringian zone. In: Linnemann, U., Romer, R.L. (Eds.), Pre-Mesozoic Geology of Saxo-Thuringia – From the Cadomian Active Margin to the Variscan Orogen", Schweizerbart, Stuttgart (2010)37–58.
- [3] Stampfli G.M., "Tethyan oceans. In: Bozkurt, E., Winchester, J.A., Piper, J.D.(Eds.), Tectonics and Magmatism in Turkey and Surrounding Area",

- for the formation of alkali rocks in Shemshak Formation, Alborz Zone", Irananin Journal of Crystallography and Mineralogy, 4(2012)699-714.*
- [21] Walker K.R., Joplin G.A., Levering J.F., Green R., "Metamorphic and metasomatic convergence of basic igneous rocks and limemagnesia sediments of the precambrian of northwestern Queensland", Geol. Soc. Australia 6,(1960)149-177.
- [22] Middlemost E.A.K., "Magma and magmatic rocks, an introduction to igneous petrology", Longman Group U.K (1985)73-86.
- [23] Winchester J.A., Floyd P.A., "Geochemical magma type discrimination: application to altered and metamorphosed basic igneous rocks", Earth and Planetary Science Letters 28 (1976), 459–469.
- [24] Boynton W.V., "Cosmochemistry of the rare earth elements: meteorite studies. In: Henderson, P. (Ed), Rare Earth Element Geochemistry", Elsevier, Amsterdam (1984)63-114.
- [25] Sun S.S., McDonough W.F, "Chemical and isotopic systematics of oceanic basalts: implication for mantle composition and processes. In: A.D., Saunders and M. J., Norry (Eds): Magmatism in ocean basins", Geological Society of London, U. K. Special Publication, 42(1989) 313-345.
- [26] Zhao J.H., Zhou M.F., "Geochemistry of Neoproterozoic mafic intrusions in the Panzhihua district (Sichuan Province, SW China): Implications for subduction-related metasomatism in the upper mantle", Precambrian Research 152(2007) 27-47.
- [27] Pearce J.A., "Role of sub-continental lithosphere in magma genesis at active continental margins. In: Hawkesworth, C.J., Norry, M.J. (Eds.), Continental Basalts and Mantle Xenoliths", Shiva, Nantwich, UK (1983)230–249.
- [28] Keyghobadi F., "Geochemistry and geochronology of the metabasites from the Posht-e-Badam region, Central Iran", M.Sc. Thesis, Damghan University, (2017)117p.
- [29] Pearce J.A., "Statistical analyses of major element patterns in basalts", J. Petrol 17(1976)15–43 .
- [30] Coban H., "Basalt magma genesis and fractionation in collision- and extension-related provinces: A comparison between eastern, central along the northern active margin of Gondwana", Chemie der Erde 75(2015)207–218.
- [12] Rossetti F., Nozaem R., Federico Lucci F., Vignaroli G., Gerdes A., Nasrabadi M., "Tectonic setting and geochronology of the Cadomian (Ediacaran-Cambrian) magmatism in Central Iran, Kuh-e-Sarhangi region (NW Lut Block)", Journal of Earth Science (2014).
- [13] Veiskarami M., Sadeghian M., Shekari S., "Geochronology of late Neoproterozoic granitoids Of the north Kandu sheepcote (South Do Chah – Southeast Shahrood)", 24<sup>th</sup> symposium of crystallography and mineralogy of Iran (2016).
- [14] Sadeghian M., Hosseini S.H, Hemmati A., Shekari S., "Petrology, geochemistry and geochronology of SW Mayamey granitoids", Journal of Earth Sciences geological survey of Iran 103(2016)41-60.
- [15] Shekari S., Sadeghian M., Zhai M., Ghasemi H., "Mineral chemistry and petrogensis of Metabasites rocks of metamorphic - igneous Shotor-Koh complex (SE shahrood) evidence of the development of late Neoproterozoic riftic basins", Journal of Earth Sciences geological survey of Iran 105(2017)167-182.
- [16] Nadimi A., "Evolution of the Central Iranian basement", Gondwana Res 12(2007)324–333.
- [17] Abbo A., Avigad D., Gerdes A., Güngör T., "Cadomian basement and Paleozoic to Triassic siliciclastics of the Taurides (Karakahisar dome, south-central Turkey): Paleogeographic constraints from U–Pb–Hf in zircons", Lithos 227(2015)122-139.
- [18] Asaad M.B. Kamal A., Martin J., "Geochemistry and petrogenesis of the Ediacaran post-collisional Jabal Al-Hassirring complex, Southern Arabian Shield", Chemie der Erde 73(2013)451-473.
- [19] Ustaömer P.A., Ustaömer T., Gerdes A., Alastair H.F., Robertson H.F., Collins A.s., "Evidence of Precambrian sedimentation/magmatism and Cambrian metamorphism in the Bitlis Massif, SE Turkey utilising whole-rock geochemistry and U–Pb LA-ICP-MS zircon dating", Gondwana Research 21(2012)1001-1018.
- [20] Ghasemi H., Jamshidi Kh., "Geochemistry, lithology and proposed tectonomagagation pattern

- zircon Hf-isotopedata", Lithos 119(2010)457–466.*
- [34] Hoskin, P.W.O., Schaltegger, U., "The composition of zircon and igneous and metamorphic petrogenesis", Rev. Mineral. Geochem 53 (2003)27–62.
- [35] Sterna R.J., Ali K.A., Abdelsalam M.G., Wilder S.A., Zhou Q., "U–Pb zircon geochronology of the eastern part of the Southern Ethiopian Shield", Precambrian Research 206– 207 (2012) 159– 167
- [36] Rasul Najeeb M.A., Stewart Ian C.F., "The Red sea The Formation, Morphology, Oceanography and Environment of a Young Ocean Basin", Springer Earth System Sciences (2015)638.
- and western Anatolia" Journal of Earth-Science Reviews 80(2007)219-238.*
- [31] Zhu C.Y., Zhao G., Sun M., Eizenhöfer P.R., Qian Liu, Zhang X., Han Y., Hou W., "Geochronology and geochemistry of the Yilan greenschists and amphibolites in the Heilongjiang complex, northeastern China and tectonic implications", Gondwana Research (43)(2016)213-228pp.
- [32] Rubatto D., "Zircon trace element geochemistry: partitioning with garnet and the link between U-Pb ages and metamorphism", Chemical Geology 184(2002)123-138.
- [33] Belousova E.A., Kostitsyn Y.A., Griffin W.L., Begg G.C., O'Reilly S.Y., Pearson N.J., "The growth of the continental crust: constraints from